

САНКТ-ПЕТЕРБУРГСКИЙ ГОСУДАРСТВЕННЫЙ УНИВЕРСИТЕТ

МАТЕМАТИКО-МЕХАНИЧЕСКИЙ ФАКУЛЬТЕТ

**ОТЧЁТ ПО ПРАКТИЧЕСКОМУ ЗАДАНИЮ №1**

**«Решение задачи Коши для жесткой системы дифференциальных  
уравнений с заданной точностью»**

Выполнила:  
Бушмакова М. А.

Санкт-Петербург, 2020 г.

# 1 Постановка задачи

Рассмотрим систему  $m$  линейных дифференциальных уравнений с постоянными коэффициентами:

$$\dot{\mathbf{y}} = A\mathbf{y} \quad (1)$$

где  $\mathbf{y}$  —  $m$ -мерный вектор, а  $A$  — матрица коэффициентов;

И задачу Коши для него:

$$y_i(x_0) = y_{i,0} \quad (2)$$

Пусть  $\lambda_i$  — собственные числа матрицы  $A$ , допустим, что  $\lambda_i \in \mathbb{R}$ .

**Определение** Система называется жесткой, если  $\forall i = 1, \dots, m \operatorname{Re}(\lambda_i) < 0$  и  $\max(-\operatorname{Re}(\lambda_i)) / \min(-\operatorname{Re}(\lambda_i))$  велико.

Будем численно решать систему (1-2) тремя методами: методом Рунге-Кутты, неявным методом Адамса и методом Розенброка с комплексным коэффициентом. Для того, чтобы найти численное решение (1-2), зададим расчетную сетку ( $N$  узлов) и вычислим значения  $\tilde{\mathbf{y}}$  — решения — в каждом узле. Заметим, что точность выбранных методов зависит от количества узлов, и будем менять значение  $N$ , чтобы приблизиться к заданной точности  $\varepsilon$ .

## 2 Теоретические основания

Здесь  $h = (x_1 - x_0)/N$  — шаг сетки,  $\mathbf{y}_0 = \mathbf{y}(x_0)$ .

### 2.1 Метод Рунге-Кутты

Расчетная формула метода Рунге-Кутты получается в результате применения формулы Симпсона для численного интегрирования.

Расчётные формулы метода:

$$y_{i+1} = y_i + \frac{1}{6}(k_1 + 2k_2 + 2k_3 + k_4) \quad (3)$$

$$k_1 = hf(x_i, y_i) \quad (4)$$

$$k_2 = hf\left(x_i + \frac{h}{2}, y_i + \frac{k_1}{2}\right) \quad (5)$$

$$k_3 = hf\left(x_i + \frac{h}{2}, y_i + \frac{k_2}{2}\right) \quad (6)$$

$$k_4 = hf(x_i + h, y_i + k_3), \quad i = 1, \dots, N \quad (7)$$

Теоретическая погрешность метода Рунге-Кутты:  $O(h^4)$ . Метод устойчив при  $N > \max(\|\lambda\|)$

## 2.2 Метод Адамса

Идея метода: предположим, что известны значения решения в точках  $x_0, \dots, x_i$ . Чтобы найти решение в точке  $x_{i+1}$ , заменим функции  $f_i(x, \mathbf{y})$  (в нашем случае  $f_i = A_i \cdot \mathbf{y}$ ) на интерполяционный многочлен  $P[x, y_1, \dots, y_m]$ , построенный по узлам  $x_{i+1}, \dots, x_{i+1-k}$ .

Пусть  $\mathbf{q}_i = hf(x_i, \mathbf{y}_i)$

Возьмём  $k = 2$ , тогда формулы для вычисления  $\mathbf{y}_{i+1}$ :

$$\mathbf{y}_{i+1} = \mathbf{y}_i + \frac{1}{12}(5\mathbf{q}_{i+1} + 8\mathbf{q}_i - \mathbf{q}_{i-1}) \quad (8)$$

В нашем случае необходимо решить следующее уравнение:

$$(E - \frac{5Ah}{12})\mathbf{y}_{i+1} = \mathbf{y}_i + \frac{Ah}{12}(8\mathbf{y}_i - \mathbf{y}_{i-1}) \quad (9)$$

Для рекуррентного соотношения необходимо вычислить  $\mathbf{y}_1$ . Найдём его с помощью метода Рунге-Кутты. Теоретическая погрешность метода Адамса ( $k = 2$ ):  $O(h^3)$ .

## 2.3 Метод Розенброка с комплексным коэффициентом

Идея метода — в обратную схему Эйлера  $\tilde{y} = y + hf(\tilde{y})$  подставим вместо  $\tilde{y}$  её разложение в ряд Тейлора.

$$\tilde{y} = f(y) + f_y(y)(\tilde{y} - y) \quad (10)$$

$$\tilde{y} = y + h \cdot b \cdot w \quad (11)$$

$$(E - a \cdot h \cdot f_y(y, x))w = f(u, t + ch) \quad (12)$$

Положим,  $b = 1$ ,  $c = 1/2$ ,  $a = 1/2$ . Такой выбор коэффициентов даст второй порядок аппроксимации ( $O(h^2)$ ).

Можно взять комплексное  $a$ . Получим расчётную схему метода Розенброка с комплексными коэффициентами:

$$\tilde{y} = y + h \cdot Re(w) \quad (13)$$

$$(E - \frac{i+1}{2} \cdot h \cdot f_y(y, x))w = f(u, t + h/2) \quad (14)$$

## 3 Численный эксперимент

Порядок эксперимента:

- построим последовательность равномерных сеток с  $N, 2N, 4N, \dots$  и т.д. узлами

- будем решать задачу Коши выбранными методами на каждой сетке, увеличивая количество узлов до тех пор, пока не получим необходимую точность
- оцениваем погрешность по правилу Рундсона  $\|\Delta\| = \max_{1 \leq n \leq N} \Delta(x_n)$ , где  $\Delta(x) = \frac{y_r(x) - y_{r-1}(x)}{r^p - 1}$ . Здесь  $p$  — теоретический порядок точности численного метода,  $r$  — коэффициент сгущения сетки,  $N$  — количество точек сетки
- построим графики зависимости погрешности от  $N$  (в двойном логарифмическом масштабе)
- при увеличении  $N$  должен быть выход на асимптотику. Чтобы это показать, оценим угол наклона  $\text{tg } \alpha = \frac{\log \Delta_i - \log \Delta_{i-1}}{\log 2} = -p$ .

## 4 Результаты

Заданная точность —  $\varepsilon = 1e^{-6}$ .

### 4.1 Тест 1

Исходные данные:

$$\begin{aligned} \dot{y} &= z \\ \dot{z} &= -4y \\ y(0) &= 0.8 \\ z(0) &= 2 \end{aligned}$$

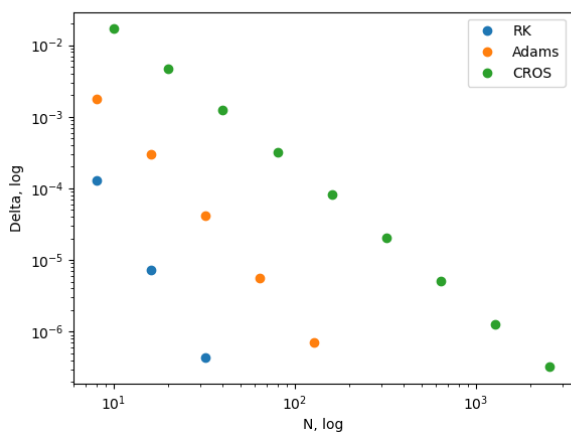


Рис. 1. график зависимости погрешности от  $N$

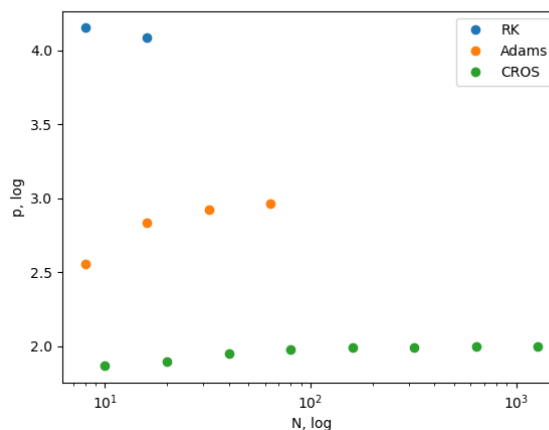


Рис. 2. зависимость  $p$  от  $N$

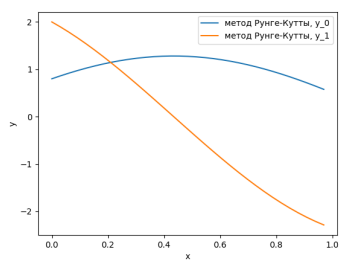


Рис. 3. метод РК

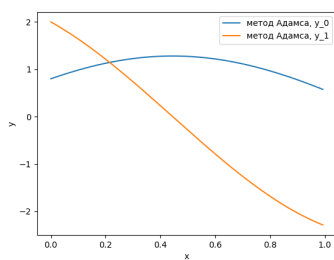


Рис. 4. метод Адамса

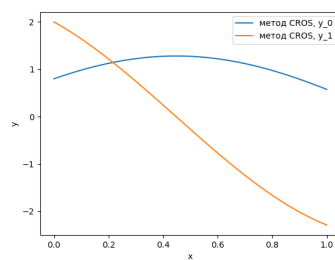


Рис. 5. метод CROS

## 4.2 Тест 2

Исходные данные:

$$\dot{\mathbf{y}} = A\mathbf{y}$$

$$\mathbf{y}(0) = (2, 1, 0)$$

$$A = \begin{bmatrix} 1 & 0 & 0 \\ 1 & -28 & 0 \\ 28 & 1 & 1 \end{bmatrix}$$

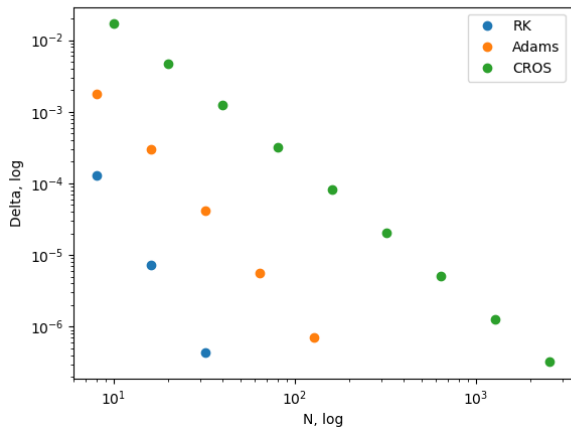


Рис. 6. график зависимости погрешности от  $N$

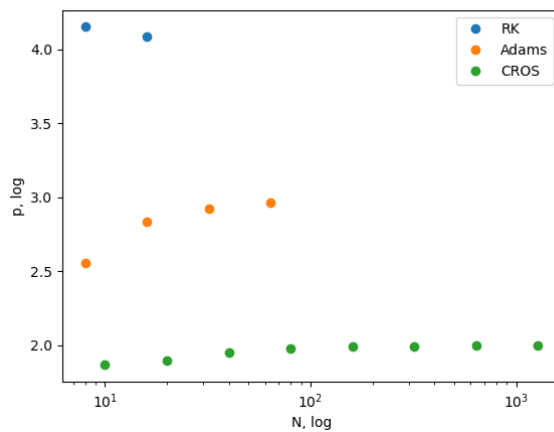


Рис. 7. зависимость  $p$  от  $N$

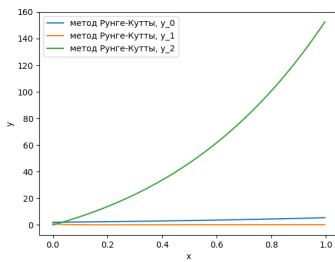


Рис. 8. метод РК

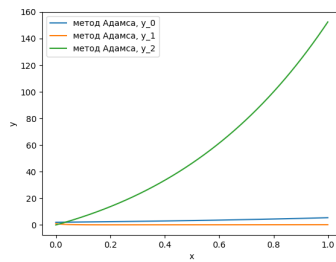


Рис. 9. метод Адамса

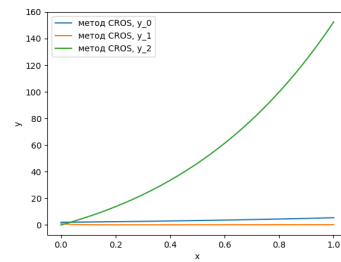


Рис. 10. метод CROS

### 4.3 Тест 3

На этом тесте посмотрим, что будет, если  $N < \max \|\lambda\|$  Исходные данные:

$$\dot{\mathbf{y}} = \mathbf{A}\mathbf{y}$$

$$\mathbf{y}(0) = (100, 101, 101, 201, 201)$$

$$\mathbf{A} = \begin{bmatrix} -10000 & 0 & 0 & 0 & 0 \\ -10001 & 2 & -1 & 0 & 0 \\ -10002 & 2 & 0 & 0 & 0 \\ -10002 & 2 & 100 & 900 & 1000 \\ -10002 & 2 & -900 & 2000 & -1100 \end{bmatrix}$$

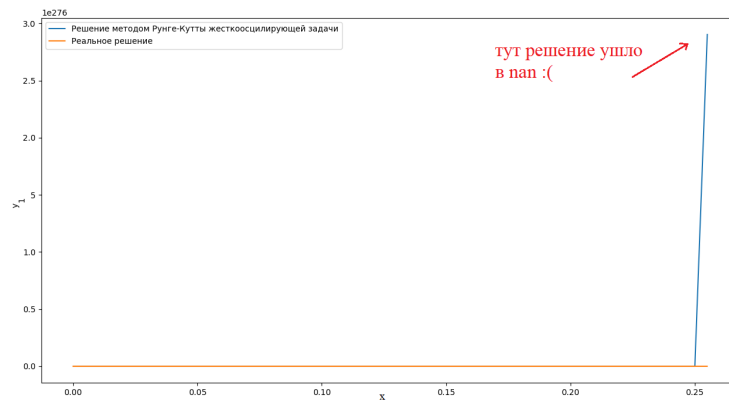


Рис. 11. резкое возрастание погрешности для метода РК,  $N = 200$

Это жесткоосциллирующая система ( $\lambda_{\min} = -10000$ ) и явный метод (метод Рунге-Кутты) перестаёт на ней работать (получаются слишком большие числа). При недостаточно малом шаге наблюдается резкое возрастание погрешности (так, например, для  $N = 10^4$  будем иметь для  $y_1$ :  $y_{1,1} = k \cdot y_{1,0}$ , где  $k$  — порядка 1. Тогда для каждого  $i \in 1, \dots, N$   $y_{1,i}$  будет больше в  $k$  раз. В итоге получим  $y_{1,N} = k^{10^4}$ . Т.е. если  $k > 1$  — на каком-то шаге мы дойдём до *nan*). Если мы увеличим шаг так, чтобы  $k < 1$ , получим намного большее время

работы программы, чем хотелось бы.

Эти результаты соответствуют теории, написанной выше.

## 4.4 Тест 4

Исходные данные:

$$\dot{y} = -125y + 123.15z$$

$$\dot{z} = 123.15y - 123z$$

$$y(0) = 1$$

$$z(0) = 1$$

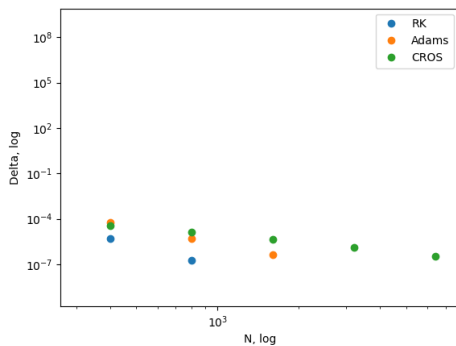


Рис. 12. график зависимости погрешности от  $N$

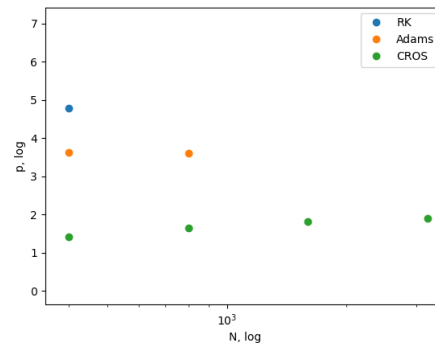


Рис. 13. зависимость  $p$  от  $N$

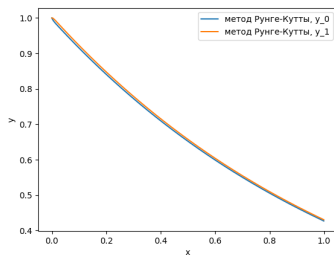


Рис. 14. метод РК

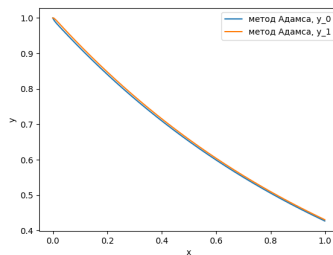


Рис. 15. метод Адамса

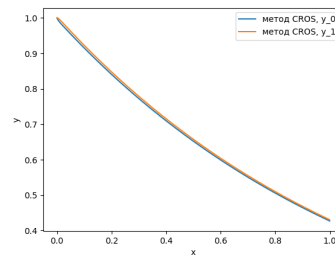


Рис. 16. метод CROS

## 4.5 Тест 5

Исходные данные:

$$\dot{y} = -1000y - 2z$$

$$\dot{z} = -2z$$

$$y(0) = 1$$

$$z(0) = 1$$

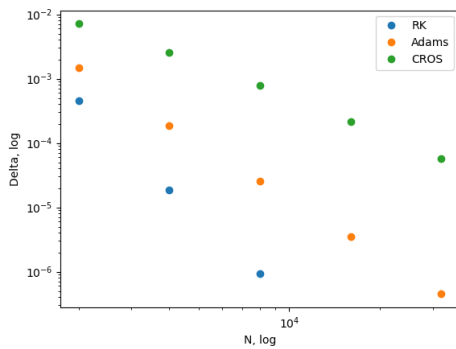


Рис. 17. график зависимости погрешности от  $N$

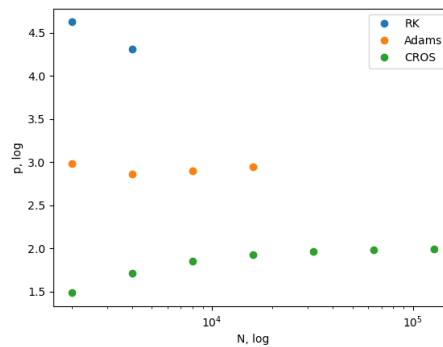


Рис. 18. зависимость  $p$  от  $N$

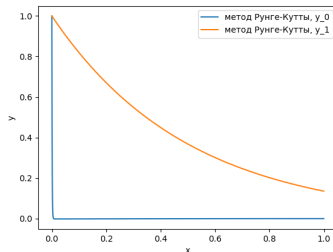


Рис. 19. метод РК

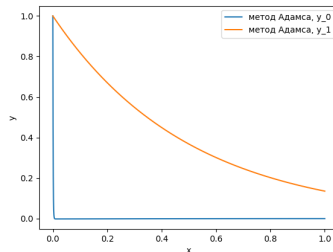


Рис. 20. метод Адамса

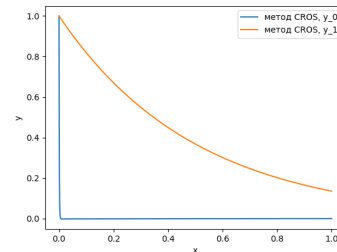


Рис. 21. метод CROS

## 4.6 Вывод

Как видно на рисунках (2, 7, 13, 18), при увеличении количества узлов для каждого метода  $tg\alpha \approx -p$ . Явные методы (метод Рунге-Кутты) плохо работают на жестких задачах (тест 3) — либо резко увеличивается ошибка, либо увеличивается сложность вычислений, поэтому для жестких задач рационально использовать неявные методы (Адамса и CROS). Для того, чтобы метод Рунге-Кутты сходил, не всегда достаточно теоретической нижней границы для  $N$  ( $max\|\lambda\|$ ), иногда требуется на несколько порядков больше ( $N = 10^4$  не подошло в тесте 3). Разница с теорией, скорее всего, связана с погрешностью машинных вычислений и другими ограничениями (слишком большие числа становятся *nan*).